

تحقیقات اسلامی

دانشکده مدیریت دانشگاه تهران

دوره ۱۶، شماره ۲
پاییز و زمستان ۱۳۹۳
ص. ۳۴۵ - ۳۵۸

محاسبه ریسک رویدادی (مطالعه موردي: بورس اوراق بهادار تهران)

سید محمدعلی کفایی^۱، هادی رحمانی فضلی^۲

چکیده: این مقاله به اندازه‌گیری ریسک رویدادی می‌پردازد که توسط کمیته بازل معرفی شده و آثار ناشی از خبرهای ناگهانی را اندازه می‌گیرد. دادهای این پژوهش بر اساس آمار روزانه ارزش بازاری هشتاد شرکت ثبت شده در بازار بورس اوراق بهادار تهران طی دوره زمانی ۱۳۷۳-۱۳۸۸ گردآوری شده است. در پژوهش حاضر پس از دسته‌بندی شرکت‌ها به سه گروه سبد بزرگ، متوسط و کوچک، به تجزیه و تحلیل و محاسبه ریسک رویدادی پرداخته شده است. در پژوهش پیش رو، برای نخستین بار در ایران الگویی از خانواده الگوهای GARCH و گاووسی معکوس (IG) و توزیع پواسن برای الگوسازی ورود خبرهای ناگهانی به بازار استفاده شده است. یافته‌های این پژوهش حکایت از اهمیت ریسک رویدادی بهمنزله جزء مهمی از ریسک کل دارد. نتایج نشان داد ریسک رویدادی محاسبه شده برای سبد متوسط ۵ درصد و برای سبد بزرگ ۲ درصد است.

پژوهشگاه علوم انسانی و مطالعات فرهنگی رسال صالح علوم انسانی

واژه‌های کلیدی: اخبار ناگهانی، توزیع NIG، توزیع بواسون، ریسک بازار، ریسک رویدادی.

۱. دانشیار اقتصاد، دانشگاه رایس، هاستون، ایالات متحدة آمریکا

۲. دانشجوی دکتری علوم اقتصادی، دانشگاه شهید بهشتی، تهران، ایران

تاریخ دریافت مقاله: ۱۳۹۲/۱۲/۲۴

تاریخ پذیرش نهایی مقاله: ۱۳۹۳/۰۳/۲۹

نویسنده مسئول مقاله: هادی رحمانی فضلی

E-mail: hady.rahmani@gmail.com

مقدمه

دو عامل مهم در تصمیم‌گیری سرمایه‌گذاران در بازارهای مالی، ریسک و بازدهی است. تفاوت میان این دو متغیر این است که ریسک، متغیر کیفی و بازدهی، متغیر کمی است. اندازه‌گیری صرف بازده، اطلاعاتی در زمینه ریسک و نوسان بازده به دست نمی‌دهد. از آنجاکه بازده بیشتر، فقط در ازای هزینه ریسک زیادتر کسب می‌شود، ارزیابی عملکرد نمی‌تواند تنها مبنی بر محاسبه بازده باشد؛ بلکه بازده تعديل شده برای ریسک، مبنای ارزیابی است.

برای مؤسسات مالی، ریسک مفهوم وسیع‌تری دارد. محور فعالیت‌های بسیاری از بنگاه‌های مالی مانند بانک، مؤسسات بیمه و صندوق‌های بازنیستگی بر کنترل ریسک استوار است. با افزایش ریسک مؤسسات مالی، مدیریت ریسک مالی نیز اهمیت بیشتری می‌یابد. در نظریه جدید سبد دارایی، ریسک سبد دارایی با محاسبه انحراف معیار نرخ‌های بازده تعریف می‌شود، اما تلقی مدیران از ریسک، مقدار زیان متحمل‌شونده است و مفهوم انحراف معیار آن را به خوبی یا آشکار درک نمی‌کنند. نظریه ارزش در معرض ریسک برای رفع این نقیصه به وجود آمد. این معیار انواع ریسک را در یک عدد خلاصه می‌کند. یکی از ایرادهایی که به این گونه محاسبه ارزش در معرض ریسک گرفته می‌شود، تفکیک‌نشدن این ریسک به دو جزء متدالو و جهشی یا منقطع است. در پژوهش حاضر تلاش می‌شود این دو جزء به صورت جداگانه محاسبه شود. سپس با اندازه‌گیری ریسک رویدادی به منزله بخشی از ریسک جهشی و تعیین میزان سهمی از ارزش در معرض ریسک که ناشی از ریسک رویدادی است، این فرصت در اختیار مدیران ارشد بنگاه‌ها قرار داده شود که به صورت واضح‌تری از ریسک‌های موجود در بازار آگاه شوند و به تصمیم‌گیری و مدیریت ریسک بپردازند. تعیین ریسک رویدادی همچنین این فرصت را در اختیار تنظیم‌کنندگان و قانون‌گذاران بازار قرار می‌دهد که با توجه به حجم سبدهای دارایی درباره میزان حداقل کفایت سرمایه برای هر یک از سبد‌ها تصمیم بگیرند.

کمیتۀ بال بین دو نوع ریسک بازار، یعنی ریسک کلی و ریسک خاص، تفاوت قائل می‌شود. ریسک خاص عبارت است از ریسکی که در آن بدھی فردی یا دارایی سهام بیشتر (یا کمتر) نسبت به کل بازار در مبادلات روزمره حرکت کند. ریسک رویدادی نیز به عنوان یکی از اجزای ریسک خاص این گونه تعریف شده است؛ هنگامی که ارزش بدھی فردی یا دارایی سهام به صورت ثابتان نسبت به بازار حرکت می‌کند (بازل، ۲۰۰۶).

توانایی اندازه‌گیری ریسک رویدادی به عنوان قسمتی از ارزش در معرض ریسک، برای تنظیم‌کنندگان بازار و بانک‌ها که مجبورند هزینه سرمایه اضافی نادیده گرفته شده توسط بانک‌ها را اضافه کنند، مفید است. مدل‌هایی که توanایی اندازه‌گیری ریسک رویدادی برای بانک‌ها و

شرکت‌ها در بازار سهام را فراهم می‌کنند، آنها را از تعیین هزینه سرمایه اضافی برای پوشش ریسک خاص بی‌نیاز می‌کند. بانک‌ها و شرکت‌ها نیز برای پوشش دادن به موقعیت و اطلاع از اینکه چه مقدار از ریسک جهش آنها که در معرض دید قرار گرفته، ناشی از جزء بازار است (که می‌تواند با موقعیت خرید در بازار پوشش داده شود) و چه مقدار ناشی از جزء ریسک رویدادی است و به راحتی پوشش داده نمی‌شود، سودمند است.

پیشنهاد پژوهش

پیشنهاد نظری

در ادبیات امروزه مالی بحث‌های فراوانی درباره گستنگی قیمت بازارهای مالی مطرح است. نتایج مطالعات ماهو و مک‌کاردی (۲۰۰۴) و اندرسون (۲۰۰۱) نشان می‌دهد تأثیر خبرهای جهش‌دهنده قیمت‌ها نسبت به تأثیر تغییر قیمتی ناشی از اخبار جدید، سریع‌تر از بین می‌رود. به همین دلیل به نظر می‌رسد برای اندازه‌گیری صحیح ریسک مالی باید آن را به دو بخش جداگانه اثربار ناشی از خبرهای معمولی و اثر وقایع‌آفرین تقسیم و اندازه‌گیری کرد. اهمیت مدل‌سازی صریح برای پیش‌بینی واریانس در بخش جهش قیمتی را ماهو و مک‌کاردی (۲۰۰۴) نشان داده‌اند. علاوه‌بر این شواهدی مبنی بر تغییرات زمانی در کشیدگی و چولگی بازدهی‌های مالی وجود دارد؛ مدل‌هایی که این وابستگی مرتب بالاتر را نشان می‌دهند (هاروی و سیدیک، ۲۰۰۰ و ۱۹۹۹) و به تازگی با به کارگیری ارزش در معرض ریسک (بالی، مو و تانگ، ۲۰۰۸ و ویلهلمsson، ۲۰۰۹) دیده می‌شوند.

پیشنهاد تجربی

در زمینه محاسبه و ارزیابی روش‌های محاسبه ارزش در معرض ریسک، از مقالات متعددی چون بالی و همکاران (۲۰۰۸) و کوئستر، میتنیک و پائوللا (۲۰۰۶) می‌توان نام برد. از مدل‌هایی که تغییرات زمانی در گشتاورهای مرتب بالاتر را محاسبه کرده‌اند، می‌توان به پژوهش‌های هانسن (۱۹۹۴)، هاروی و سیدیک (۱۹۹۹)، بالی و همکاران (۲۰۰۸) اشاره کرد. با این حال این مدل‌ها اجازه جهش در قیمت‌ها را نمی‌دهند.

فورسبرگ و بالرسلو (۲۰۰۲) به رفع شکاف میان مدل‌سازی سنتی ARCH و پیشرفتهای اخیر درخصوص نوسانات تحقیق یافته می‌پردازند. این دو بر اساس نمونه ده‌ساله‌ای از بازدهی‌های پنج دقیقه‌ای پول‌های رایج سبد ECU در برابر دلار آمریکا، به این نتیجه رسیدند که نوسانات تحقیق یافته ناشی از جمع بازدهی‌های روزانه با فراوانی زیاد، به طور تقریبی توزیع گاوی معکوس

(IG) دارند، در حالی که توزیع بازدهی‌های روزانه استاندارد شده توسط نوسانات تحقق یافته، کمایش نرمال است. به علاوه، مدل فرضی روزانه GARCH با خطاهای گاوی معکوس نرمال (NIG) برای بازدهی‌های ECU، به پیش‌بینی‌های صحیح برای سه سال نرخ واقعی روزانه یورو و دلار آمریکا منجر شده است.

مقاله مaho و Mک کاردی دلایل وابستگی شدت‌های جهش سهام فردی و شاخص‌های استفاده‌کننده از پارامتر شدت جهش شرطی خودرگرسیونی را به زمان بیان می‌کند و به تغییرات عادی و تغییرات جهش امکان می‌دهد در نوسانات پیش‌بینی شده بازخورد داشته باشند و نتایج جدیدی را درخصوص تأثیرات نامتقارن تغییرات بازدهی بر نوسانات ارائه می‌دهد. چولگی شرطی و کشیدگی، ناشی از نوسانات‌اند. نتیجه چولگی شرطی می‌تواند تأثیر اهرم هم‌زمان تغییرات زمانی تفسیر شود. این امر به طور مشترک با احتمال تأثیرات اهرم به تأخیر افتاده از طریق ساختار بازخورد GARCH مدل‌سازی می‌شود. این ویژگی‌های جدید به این مدل امکان می‌دهد در دوره‌های ورشکستگی و سایر رویدادها بهتر عمل کند. این مقاله درخصوص شاخص‌های بررسی شده، چندین تفاوت میان مؤلفه‌های نوسانات مرتبط با سهام «قدیمی» در مقابل سهام «اقتصاد جدید» ارائه می‌دهد. در آخر، مدل Maho و Mک کاردی پیش‌بینی‌های برتر واریانس شرطی خارج از نمونه متناسب با مدل شناخته شده معیار را ارائه می‌دهد، حتی زمانی که مدل معیار اجازه دارد تغییرات دنباله پهن داشته باشد. این پیش‌بینی‌های برتر خارج از نمونه باید به پیشرفت‌هایی در مدیریت مالی منجر شود (Maho و Mک کاردی، ۲۰۰۴).

مدل پیشنهادی این پژوهش برگفته از دو مدل فورسپرگ و بالرسلو (۲۰۰۲) به نام NIG-GARCH و مدل پیشنهادی Maho و Mک کاردی (۲۰۰۴) با نام GARJI است.

مدل مفهومی

توزیع گاوی معکوس نرمال

در بررسی توزیع بازدهی دارایی‌ها، دو حقیقت آشکار شده است: ۱. دنباله بسیار پهن؛ ۲. خوش‌های تلاطم. این حقایق، یافته مطالعات گسترده‌ای است که در اقتصادسنجی مالی انجام شده است. بیشتر پژوهش‌ها در زمینه خوش‌های تلاطم، به کمک الگوهای ARCH و تلاطم تصادفی (SV) اجرا شده که از بحث اولیه انگل (۱۹۸۲) و کلارک (۱۹۷۳) نشئت می‌گیرد. سومین واقیتی که باید به آن اشاره کرد، کشیدگی بیشتر و چولگی توزیع بازدهی دارایی‌ها، نسبت به توزیع نرمال است. رهیافتی برای مواجهه با این حقیقت، استفاده از توزیع‌های هیبروبولیک تعیین‌یافته (GH) است. بارندوف - نیلسن (۱۹۹۵) و ابرلین و کلر (۱۹۹۵) این مدل را در مباحث مالی معرفی کرده‌اند. الگوی معرفی شده به شرح رابطه ۱ است.

$$y_t = \mu + \beta \sigma_t^2 + \sigma_t \varepsilon_t \quad (1)$$

که در آن:

$$\varepsilon_t | \sigma_t^2 \sim N(0,1) \quad t = 1 \dots T \quad (2)$$

$$\sigma_t^2 | \mathcal{F}_{t-1} \sim GIG(\lambda, r(\mathcal{F}_{t-1}; \emptyset), \sqrt{\alpha^2 - \beta^2}) \quad t = 1 \dots T$$

$$r(\mathcal{F}_{t-1}; \emptyset) \equiv r_t^\vartheta = c + b r_{t-1}^\vartheta + a[|\varepsilon_{t-1}| - \tau \varepsilon_{t-1}]^\vartheta$$

$\mathcal{F}_{t-1} = (y_{t-1}, \dots, y_t)$ تاریخچه فرایند است. خانواده توزیع GH نمایشی از ترکیب توزیع

نرمال ترکیبی از واریانس- میانگین با توزیع‌های GIG است. توزیع NIG نیز حالت خاصی از توزیع‌های GIG است (توزیع ترکیبی NIG گاوی معکوس است).

تابع چگالی $NIG(\alpha, \beta, \mu, \delta)$ به صورت زیر تعریف شده است:

$$g_x(x; \omega) = a(\omega) q\left(\frac{x - \mu}{\delta}\right)^{-1} K_1\left(\delta \alpha q\left(\frac{x - \mu}{\delta}\right)\right) \exp(\beta x) \quad (3)$$

که در آن:

$$a(\omega) = \frac{\alpha}{\pi} \exp\left[\delta \sqrt{\alpha^2 - \beta^2} - \beta \mu\right] \quad (4)$$

$$q(x) = \sqrt{1 + x^2} \quad \text{و} \quad \omega = (\alpha, \beta, \mu, \delta)$$

$$0 \leq |\beta| \leq \alpha \mu \in R \quad \text{و} \quad 0 < \delta$$

K_1 تابع بزل تعديل شده است.^۱ پارامترها $(\alpha, \beta, \mu, \delta)$ به صورت زیر تفسیر می‌شود. α و β پارامترهای شکلی هستند و به ترتیب α تندی و β نامتقارنی را نشان می‌دهد که در حالت حدی $\alpha \rightarrow \infty$ به عنوان عامل محدود‌کننده توزیع نرمال به دست می‌آید. $\beta = 0$ بر تابع چگالی متقارن دلالت دارد. علاوه‌بر این δ پارامتر مقیاس و μ پارامتر موقعیت است.

به طور معمول پارامترهای توزیع، ثابت در نظر گرفته می‌شود؛ $\bar{\beta} = \delta \beta$ و $\bar{\alpha} = \delta \alpha$ که الگوی در حالت $NIG(\bar{\alpha}, \bar{\beta}, \mu, \delta)$ به شکل زیر در می‌آید:

۱. یک نتیجه مفید این است که $k_1(x) = k_{-\frac{1}{2}}(x) = \sqrt{\frac{\pi}{2}} x^{-\frac{1}{2}} \exp(-x)$ و به صورت خاص $k_1(x) = k_{-1}(x) = k - 1(x)$ است.

$$\bar{g}_x(x; \bar{\alpha}) = \frac{\bar{\alpha}}{\pi\delta} \exp\left[\sqrt{\bar{\alpha}^2 - \bar{\beta}^2} + \bar{\beta} \frac{(x - \mu)}{\delta}\right] q\left(\frac{x - \mu}{\delta}\right)^{-1} K_1\left(\bar{\alpha}q\left(\frac{x - \mu}{\delta}\right)\right) \quad (5)$$

مشخصه مطلوب این نوع پارامترها این است که $NIG(\bar{\alpha}, \bar{\beta}, \mu, \delta)$ از خانواده موقعیت-مقیاس است بدین معنا که:

$$X \sim NIG(\bar{\alpha}, \bar{\beta}, \mu, \delta) \Leftrightarrow \frac{x - \mu}{\delta} \sim NIG(\bar{\alpha}, \bar{\beta}, 0, 1) \quad (6)$$

از این رو آشکار است که:

$$\bar{g}_x(x; \bar{\alpha}, \bar{\beta}, \mu, \delta) = \frac{1}{\delta} \bar{g}_x\left(\frac{x - \mu}{\delta}; \bar{\alpha}, \bar{\beta}, 0, 1\right) \quad (7)$$

این امر متداول است؛ زیرا وابستگی موقت به تنهایی در مفهوم δ بیان شده است.

برای شرح رابطه توزیع معرفی شده در بالا با توزیع‌های GH، به توصیف نمایش آن در حالت مختلط واریانس-میانگین با توزیع‌های GIG پرداخته می‌شود.تابع چگالی (GIG) γ, λ, δ با متغیر تصادفی توزیعی s به وسیله تابع زیر به دست می‌آید.

$$f_s(s; \lambda, \delta, \gamma) = \left(\frac{\gamma}{\delta}\right)^\lambda \frac{s^{\lambda-1}}{2k_\lambda(\delta\gamma)} \exp\left[-\frac{1}{2}(\delta^2 s^{-1} + \gamma^2 s)\right] \quad (8)$$

نتیجه اصلی به دست آمده از رابطه‌های بالا به شرح رابطه ۹ است:

$$GH(\lambda, \alpha, \beta, \mu, \delta) \sim N(\mu + \beta s, s) \bigwedge_s GIG(\lambda, \delta, \sqrt{\alpha^2 - \beta^2}) \quad (9)$$

همان‌گونه که در مقاله رایدبرگ (۱۹۹۹) آمده است، این عبارت بیان می‌کند که چنانچه $x|s \sim GIG(\lambda, \delta, \sqrt{\alpha^2 - \beta^2})$ و اگر $\sim N(\mu + \beta s, s)$ آن گاه توزیع شرطی x ، توزیع $GH(\lambda, \alpha, \beta, \mu, \delta)$ است (رایدبرگ، ۱۹۹۹). علاوه بر این توزیع شرطی متغیر مرکب s به شرط x عبارت است از:

$$s|x \sim GIG\left(\lambda - \frac{1}{2}, \delta q\left(\left(\frac{x - \mu}{\delta}\right), \alpha\right)\right) \quad (10)$$

که توزیع NIG به عنوان حالت خاصی از آن به دست می‌آید.

$$NIG(\alpha, \beta, \mu, \delta) \sim N(\mu + \beta s, s) \bigwedge_s GIG\left(-\frac{1}{2}, \delta, \sqrt{\alpha^2 - \beta^2}\right) \quad (11)$$

NIG-GARJI مدل

بازدهی به صورت زیر مدل سازی می شود:

$$r_t - r_f = \mu + \bar{p}\sqrt{h_t\bar{\gamma}} + \varepsilon_{1,t} + \varepsilon_{2,t} \quad (12)$$

که r_f نرخ بازدهی بدون ریسک است. پارامتر $\bar{\gamma}$ را می توان میزان ضخامت یا پهنی دنباله تعبیر کرد. علاوه بر این $\bar{p} = \frac{\bar{\beta}}{\bar{\alpha}} = \frac{\beta}{\alpha}$ میزان کشیدگی را نشان می دهد. μ جبران ثابتی برای ریسک و $\bar{p}\sqrt{\bar{\gamma}}$ جبران تغییرات زمانی (تداووم) ریسک تلاطم $\sqrt{h_t}$ است. اختلال بازدهی مدام $\varepsilon_{1,t} = \sqrt{h_t}z_t$ و اختلال^۱ جهش $\varepsilon_{2,t}$ عبارت است از $\varepsilon_{2,t} = \sum_{k=1}^{\eta_t} J_{k,t} - \lambda_t(\mu_j + \frac{\bar{p}\delta_j}{\sqrt{1-\bar{p}}})$ توزیع شده است. واریانس شرطی نیز مطابق زیر استنتاج می شود (نایبرگ و ویلهلمسون، ۲۰۰۹).

$$h_t = \omega + (k_1 + k_{1,j} * \mathcal{F}_{t-1} + I(k_{1,a} + k_{1,j,a} * \mathcal{F}_{t-1})) (\varepsilon_{1,t-1} + \varepsilon_{2,t-1})^2 + k_2 h_{t-1} \quad (13)$$

با:

$$\mathcal{F}_{t-1} = \frac{f(r_t | \eta_t = j, \Omega_{t-1} \exp(-\lambda_t) \lambda_t^j / j!)}{f(r_t | \Omega_{t-1})} \quad j = 0, 1, 2 \dots \quad (14)$$

که λ_t نشان دهنده پارامتر شدت جهش است و در معادله زیر توضیح داده می شود. I شاخص تابع است که اگر $\cdot < \varepsilon_{1,t-1} + \varepsilon_{2,t-1}$ مقدار آن یک و در غیر این صورت صفر است. پویایی های شدت جهش از رابطه زیر به دست می آید.

$$\lambda_t = \lambda_0 + \varphi \lambda_{t-1} + \emptyset \xi_{t-1} \quad (15)$$

که $\lambda_{t-1} - \lambda_{t-1} = \mathcal{F}_{t-1}$ برابر با تعداد جهش های انتظاری (فیلتر شده) در زمان $t-1$ با اطلاعات زمان $t-1$ منهای تعداد جهش های انتظاری در زمان $t-1$ با اطلاعات زمان $t-2$ است. افرون بر این ξ_{t-1} تعبیری از خطاب برای فرایند زمان رسیدن جهش است. اندازه جهش J_t که به صورت $NIG(\bar{\alpha}, \bar{\beta}, \mu, \delta)$ توزیع شده است (نایبرگ و ویلهلمسون، ۲۰۰۹).

تابع درستنمایی

اگر متغیرهای تصادفی مستقل X_1, \dots, X_m با پارامترهای شکلی یکسان $\bar{\beta}$ و $\bar{\alpha}$ اما با موقعیت های فردی μ_j و پارامترهای مقیاس ($m \dots 1$) δ_j دارای توزیع NIG باشند، آن گاه

جمع $X_+ = \sum_{i=1}^m X_i$ دارای توزیع $NIG(\bar{\alpha}, \bar{\beta}, \mu_+, \delta_+)$ خواهد بود. با معلوم بودن این شرایط، $\varepsilon_{2,t}$ به طور هم زمان مستقل اند (بارندوف- نیلسن، ۱۹۹۷).

بنابراین، توزیع شرطی r_t برای تعداد معینی از جهش عبارت است از:

(رابطه ۱۶)

$$f(r_t | \eta_t = j, \Omega_{t-1}) = \frac{\bar{\alpha}}{\pi \delta_t^*} * \exp \left[\bar{\gamma} + \bar{\beta} \frac{(r_t - \mu_t^*)}{\delta_t^*} \right] q \left(\frac{r_t - \mu_t^*}{\delta_t^*} \right)^{-1} K_1 \left(\bar{\alpha} q \left(\frac{r_t - \mu_t^*}{\delta_t^*} \right) \right)$$

که در آن $\delta_t^* = \frac{\sqrt{h_t \bar{\gamma}' / \bar{\alpha}}}{\bar{\alpha}} + j \delta_j$ و $\mu_t^* = \mu + (j - \lambda_t) \cdot \left(\mu_j + \frac{\bar{p} \delta_j}{\sqrt{1 - p^2}} \right)$ تعداد جهش ها پنهان است، اما با توزیع شناخته شده می توان انتگرال این عبارت را به دست آورد: تابع تابع درست نمایی عبارت است از:

$$f(r_t | \Omega_{t-1}) = \sum_{j=0}^n f(r_t | \eta_t = j, \Omega_{t-1}) * \exp(-\lambda_t) \lambda_t^j / j! \quad \text{رابطه ۱۷}$$

ارزش در معرض ریسک

ارزش در معرض ریسک به صورت $Var_t(p, h) = F_{t+h}^{-1}(p) | \Omega_t$ نشان داده می شود که بیشترین زیان پیش بینی شده در طول دوره زمانی معلوم (h) با احتمال معین p است. F_{t+h}^{-1} پیش بینی شرطی دوره h ام تابع توزیع تجمعی^۱ معکوس بازدهی است. برای محاسبه ارزش در معرض ریسک، تابع توزیع تجمعی را معکوس کرده و عددی را که متناسب با سطح اطمینان تعیین شده است، به عنوان ارزش در معرض ریسک محاسبه می شود.

می دانیم NIG-GARJI مجموع وزن احتمالی توزیع های شرطی برای مقادیر ثابت زو با تغییر در مرتبه جمع و انتگرال است. تابع توزیع تجمعی برای مدل به صورت زیر بیان می شود:

$$F_{Total} = \sum_{j=0}^{\infty} \int_{-n}^x f(r_t | \eta_t = j, \Omega_{t-1}) \exp(-\lambda_t) \lambda_t^j / j! \quad \text{رابطه ۱۸}$$

جزء پیوسته^۲ با قراردادن $z = j$ در معادله به دست می آید.

$$F_{con} = \int_{-\infty}^x f(r_t | \eta_t = 0, \Omega_{t-1}) \exp(-\lambda_t) \quad \text{رابطه ۱۹}$$

1. Cumulative Density Function
2. Continues

ارزش در معرض ریسک کل از روابط بالا محاسبه می‌شود و ارزش در معرض ریسک پیوسته با معکوس کردنتابع توزیع تجمعی و مساوی صفر قراردادن تعداد جهش‌ها و سپس ضرب در احتمال صفرشدن تعداد جهش‌ها ($\exp(-\lambda_t)$) به دست می‌آید. جزء جهش ارزش در معرض ریسک را می‌توان به کمک رابطه ۲۰ محاسبه کرد.

$$VaR_{jump} = VaR_{total} - VaR_{con} \quad (20)$$

ریسک رویدادی به صورت زیر محاسبه می‌شود که میانگین سهم ریسک رویدادی در موقعیت i در طول دوره $[t, T]$ است.

$$VaR_{event,i} = \frac{\sum_{t=1}^T \max(VaR_{jump,i,t} - VaR_{jump,m,t}, 0)}{\sum_{t=1}^T VaR_{total,i,t}} \in [0,1] \quad (21)$$

این نکته مهم است که چون VaR_{event} کوچک‌تر یا مساوی VaR_{jump} است، رابطه $VaR_{event} + VaR_{con} \leq VaR_{total}$ برقرار است. بنابراین، پیشنهاد نمی‌شود که کفایت سرمایه باید از $VaR_{con} + VaR_{event}$ محاسبه شود، بلکه باید آن را از طریق VaR_{total} محاسبه کرد.

روش‌شناسی پژوهش داده‌های آماری

برای انتخاب شرکت‌ها از ارزش بازاری آنها استفاده می‌شود. یکی از ویژگی‌های این مدل‌ها طولانی‌بودن سری زمانی داده‌ها است. شرکت‌های موجود در بورس براساس سال ورود دسته‌بندی می‌شوند و پس از انتخاب شرکت‌ها براساس سال ورود، دوباره بر اساس ارزش بازاری دسته‌بندی می‌شوند. با استفاده از نرم‌افزار اکسل¹ شرکت‌ها به سه دسته طبقه‌بندی شدند؛ بدین‌صورت که ۳۰ درصد اولیه با کمترین ارزش بازاری را به عنوان سبد کوچک، ۴۰ درصد میانی با ارزش بازاری متوسط را به عنوان سبد متوسط و درنهایت ۳۰ درصد انتهایی که بیشترین ارزش بازاری را دارند به عنوان سبد بزرگ در نظر گرفته شدند. پس از انتخاب شرکت‌ها برای به دست آوردن مقیاسی برای مقایسه سبد‌ها، اقدام به شاخص‌سازی برای هر یک از سبد‌ها می‌شود. برای مقایسه هر یک از سبد‌ها با ارزش کل بازار، از فرمول محاسبه شاخص بازار استفاده می‌شود.

$$TEPIX_T = \frac{\lambda \sum_{i=1}^n C_{it} P_{it}}{\sum_{i=1}^n C_{it} P_{ib}} \quad (22)$$

1. Excel

در این مقاله با استناد به کارهای ویلهلمسون (۲۰۰۹)، نایبرگ (۲۰۰۹) و ما هو و مک کارדי (۲۰۰۴) و مفهوم ریسک رویدادی که توسط کمیته بازل مطرح شده است، برای بازارهای مالی ایران به اندازه‌گیری این جزء از ارزش در معرض ریسک می‌پردازیم.

برای برآورد پارامترها از نرم‌افزار گاووس^۱ استفاده می‌شود. یکی از ویژگی‌های خاص این نرم‌افزار قابلیت برآوردتابع بیشترین درست‌نمایی به صورت مقید است. پارامترهای مدنظر برای برآورد در مرحله اول عبارت‌اند از: میانگین بازدهی سید دارایی (μ)، میانگین جهش‌ها (μ_{μ})، جزء ثابت فرایند آریما^۲ جهش‌ها (λ)، ضریب فرایند آریما جهش‌ها (φ)، ضریب جزء اخلال فرایند آریما جهش‌ها (\emptyset)، جزء ثابت واریانس شرطی (ω)، واریانس جهش (δ) و محاسبه ضرایب واریانس شرطی زمانی است. در مرحله بعد هفت فرایند؛ فرایند جهش، واریانس جهش، واریانس جزء بدون جهش، واریانس کل، جزء اخلال فرایند جهش، احتمال عدم وقوع جهش و جزء اخلال فرایند آریما بازدهی‌ها، به دست می‌آید.

برای به دست آوردن پارامترها از سه فرایند بهینه‌یابی در سه مرحله متفاوت استفاده می‌شود. در فرایند اول ابتدا قیدها را اعمال، سپس با تعیین مقادیر اولیه بهینه‌یابی آغاز می‌شود. در این مرحله فرض می‌شود که جزء جهش به صورت ثابت اتفاق می‌افتد و از یک فرایند آریما پیروی نمی‌کند. با استفاده از این فرض و با استفاده از حداقل‌نمایی تابع راست‌نمایی برای پارامترهای مرحله اول مقدار اولیه‌ای برآورد می‌شود.

در مرحله دوم فرض اولیه ثابت‌بودن جزء جهش را کنار گذاشته و جهش به صورت فرایند آریما تعریف می‌شود. در این مرحله با استفاده از قانون بیز^۳ تعداد جملات اخلال جزء جهش تعیین می‌شود. رابطه برای محاسبه قانون بیز در ذیل آمده است.

$$\mathcal{F}_{t-1} = \frac{f(r_t | \eta_t = j, \Omega_{t-1} \exp(-\lambda_t) \lambda_t^j / j!)}{f(r_t | \Omega_{t-1})} \quad j = 0, 1, 2 \dots \quad (23)$$

در این مرحله برآوردهای مرحله اول به متنزه مقادیر ثابت وارد می‌شود، سپس با استفاده از فرایند بهینه‌یابی و استفاده از تابع بیشترین درست‌نمایی، پارامترهای فرایند ARMA جزء جهش برآورد زده می‌شود.

1. Aptech Gauss
2. ARMA
3. Bayes' Rules

در مرحله سوم با استفاده از پارامترهای برآورده در دو مرحله قبل و با استفاده از تابع بیشترین درستنمایی و با توجه به قیودی که بر تابع بیشترین درستنمایی اعمال می‌شود، تمام پارامترها به صورت یکجا برآورد می‌شود.

یافه‌های پژوهش

نتایج حاصل از آزمون جارکو - برآ، فرضیه صفر مبنی بر درستی توزیع نرمال برای سبد کوچک، متوسط، بزرگ و کل بازار را تأیید نمی‌کند و همچنین نشان‌دهنده وجود چولگی و کشیدگی در داده‌های است. برای برآورد ضرایب بازار، سبد بزرگ و سبد متوسط از برنامه‌نویسی در نرم‌افزار گاووس استفاده شد. نتایج در جدول ذیل آمده است.

جدول ۱. برآورد ضرایب

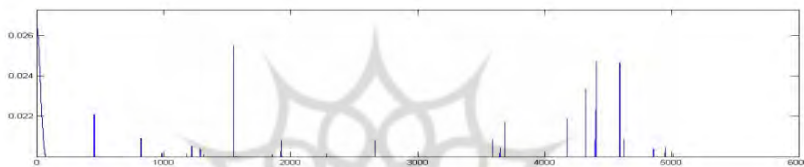
پارامتر	برآورد برای بازار			برآورد برای سبد متوسط			پارامتر
	ضرایب	انحراف معیار	برآورد برای سبد بزرگ	ضرایب	انحراف معیار	برآورد برای سبد متوسط	
μ	-0.0059	0.0766	0.0063	0.0432	0.0061	0.0298	
ω	-0.0007	0.0014	0.0009	0.0028	0.0003	0.0005	
K_1	0.1141	2.2027	0.7033	6.4068	0.2528	3.9672	
$K_{1,j}$	0.2996	0.9121	0.3808	1.8341	0.3314	0.6222	
$K_{1,a}$	0.1286	0.8288	0.6827	4.2924	0.2083	1.6113	
$K_{1,j,a}$	0.3362	0.1278	0.3783	1.0882	0.3541	0.1234	
K_2	0.0121	0.8511	0.0067	0.9222	0.0071	0.9534	
$\bar{\beta}$	-0.5973	0.3238	0.4378	0.403	0.4123	0.453	
λ_0	-0.0272	0.0863	0.0001	0.001	0.0069	0.0208	
φ	0.0886	0.6149	0.0004	0.9979	0.0246	0.9095	
ϕ	0.0853	0.4947	0.126	0.0576	0.0659	0.3868	
μ_j	0.0386	0.3435	0.0275	0.0496	0.0525	0.3324	
δ_j	-0.484	0.6913	0.033	0.6391	0.053	0.624	
$\bar{\alpha}$	-0.6398	4.3143	0.6147	3.9341	0.3403	2.9405	

نتایج آزمون لیانگ- باکس بیانگر وجود نداشتن خودهمبستگی در جملات اخلال مدل و جملات اخلال جزء جهش در تعداد وقفه‌های ۵ و ۲۰ است. محاسبه ریسک رویدادی در سطح اطمینان ۱ درصد و ۵ درصد برای سبدهای بزرگ و متوسط در جدول ۲ آمده است.

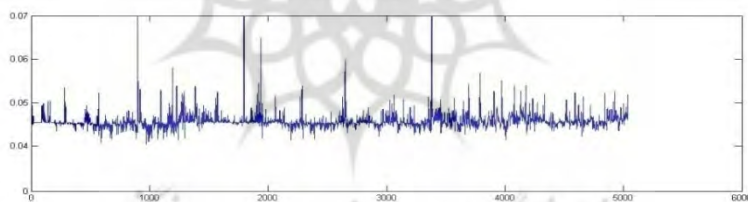
جدول ۲. محاسبه ریسک رویدادی

سبدهای دارایی	سبح ۱ درصد	سبح ۵ درصد
ریسک رویدادی		
بازار	.	.
سبد بزرگ	۱۲/۲ درصد	۲ درصد
سبد متوسط	۰/۸ درصد	۷۲/۴ درصد

مطابق نتایج ذکر شده در جدول ۲ ریسک رویدادی برای سبد بزرگ در حدود ۲ درصد به دست آمد. همچنین برآورد ریسک رویدادی برای سبد متوسط ۵ درصد به دست آمد و در شکل های ۱ و ۲ به تصویر کشیده شده است.



شکل ۱. برآورد ریسک رویدادی برای سبد بزرگ



شکل ۲. برآورد ریسک رویدادی برای سبد متوسط

نتیجه‌گیری و پیشنهادها

با توجه به نتایج به دست آمده از محاسبات، وجود ریسک رویدادی برای سبد های بزرگ و متوسط در بازار سهام ایران تأیید شد. برای سبد کوچک برآورد معناداری به دست نیامد. بدین ترتیب پیشنهاد می شود برای سبد بزرگ، حدود ۲ درصد و برای سبد متوسط، ۵ درصد به منزله ریسک رویدادی به ارزش در معرض ریسک اضافه شود. همچنین می توان برای تعیین ریسک سایر دارایی ها و واسطه گران مالی نظریه بیمه و بانک به جای تعیین مقدار ثابتی به عنوان کفایت سرمایه، از روش های معرفی شده در این پژوهش استفاده کرد.

علاوه بر این، اندازه‌گیری ریسک رویدادی، تنظیم‌کنندگان را در محاسبه دقیق‌تر ریسک کمک می‌کنند و این امکان برای بانک‌ها و شرکت‌های فعال در بازار سهام فراهم می‌شود که با محاسبه ریسک رویدادی، از تعیین هزینه سرمایه اضافی جلوگیری شود.

درباره بازار سهام، با توجه به اهمیت روزافزون آن، نیاز به تحلیل علمی بازار سهام در زمینه ریسک بازار و ایجاد شاخص‌های جدید آماری ضروری است. بنابراین، پیشنهاد می‌شود، سازمان بورس و اوراق بهادار شاخص‌های جدیدی ایجاد کند تا بازار سهام شفاف‌تر شود، کارایی آن افزایش یابد و درنهایت به عنوان بازاری موازی با سیستم بانکی کشور به شفافیت و کارایی در دیگر بازارها منجر شود.

نظر به اثرگذاری مستقیم بازارهای مالی در فعالیت‌های اقتصادی و اهمیت آن در توسعه کشور، اجرای پژوهش‌هایی درباره کاربرد ریسک رویدادی در قیمت‌گذاری، اختیارات معامله، رتبه‌بندی و قراردادهای آتی پیشنهاد می‌شود.

References

- Bali, G.T., Mo, H. & Tang, Y. (2008). The Role of Autoregressive Conditional Skewness and Kurtosis in the Estimation of Conditional VaR, *Journal of Banking and Finance*, 32(2): 269–282.
- Barndorff-Nielsen, O. E. & Shephard, N. (2002). Econometric analysis of realised volatility and its use in estimating stochastic volatility models. *Journal of the Royal Statistical Society*, 64(2): 253-280.
- Barndorff-Nielsen, O. E. & Shephard, N. (2006). Impact of Jumps on Returns and Realised Variances: Econometric Analysis of Time-Deformed Lèvy Processes. *Journal of Econometrics*, 131 (1-2): 217–252.
- Barndorff-Nielsen, O.E. (1997). Normal Inverse Gaussian Distributions and Stochastic Volatility Modelling, *Scandinavian Journal of Statistics*, 24(1): 1–14.
- Barone-Adesi, G., Giannopoulos, K. & Vosper, L. (1999). VaR without correlations for portfolios of derivative securities. *Journal of Futures Markets*, 10(5): 583-602.
- Basel (2004). International convergence of capital measurement and capital standards. A revised framework. Updated November 2005. Basel Committee on Banking Supervision. Bank for International Settlement, Basel, Switzerland.
- Bollerslev, T. & Forsberg, L. (2002). Bridging the Gap between the Distribution of Realized (ECU) Volatility and ARCH Modeling (of the Euro): The GARCH Normal Inverse Gaussian Model, *Journal of Applied Econometrics*, 17 (5): 535–548.
- Bollerslev, T. (1986). Generalised autoregressive conditional heteroskedasticity, *Journal of Econometrics*, 31(3): 307–327.

- Chan, W. & Maheu J. (2002) Conditional Jump Dynamics in Stock Market Returns. *Journal of Business and Economic Statistics*, 20(3): 377–389.
- Das, S. & Sundaram, R. (1997). Taming the Skew: Higher-Order Moments in Modeling Asset Price Processes in Finance. National Bureau of Economic Research. *Working Paper 5976*. DOI: 10.3386/w5976.
- Gibson, M. (2001). Incorporating Event Risk into Value-at-Risk, *FEDS Discussion*, 2000:1-17.
- Giot, P. & Laurent S. (2003). Value-at-Risk for long and short trading positions. *Journal of Applied Econometrics*, 18(6): 641-664.
- Hansen, B. E. (1994). Autoregressive Conditional Density Estimation. *International Economic Review*, 35(3): 705–730.
- Harvey, C. & Siddique, A. (1999). Autoregressive Conditional Skewness. *Journal of Financial and Quantitative Analysis*, 34(4): 465–488.
- Kuester, K., Mittnik, S. & Paolella, M. (2006). Value-at-Risk Prediction: A Comparison of Alternative Strategies. *Journal of Financial Econometrics*, 4: 53–89.
- Lanne, M. (2007). Forecasting Realized Volatility by Decomposition. *International Journal of Forecasting*, 23(2): 307–320.
- Maheu, J.M. & McCurdy T.H. (2004). News Arrival, Jump Dynamics and Volatility Components for Individual Stock Returns. *Journal of Finance*, 59: 755–793.
- Nelson, D. (1991). Conditional heteroscedasticity in asset returns: A new approach. *Econometrica*, 59(2): 347–370.
- Nyberg, P. & Wilhelmsson, A. (2009). Measuring Event Risk. *Journal of Financial Econometrics*, 7(3): 265–287.
- Press, S. J. (1967). A compound events model for security prices. *Journal of Business*, 40(3): 317-335.
- Pritsker, M. (1997). Evaluating Value at Risk Methodologies, *Journal of Financial Services Research*, 12(2/3): 201-242.
- Raei, R. & Saeedi, A. (2009). *Financial engineering and risk management principles*, Fourth Edition, Tehran: Samt. (in Persian)
- Rydberg, T. H. (1999). Generalized hyperbolic diffusion processes with application in finance. *Mathematical Finance*, 9(2): 183–201.
- Sajadi, Z. & Fathi, S. (2014). A four-step explanation of the process of calculating the value at risk as a measure of risk and implement it in an optimization model for investors. *Financial knowledge Analysis Securities Journal*, 6(20).
- Stambaugh, F. (1996). Risk and Value-at-Risk. *European Management Journal*, 14 (6): 612-621.
- Wilhelmsson, A. (2009). Value at Risk with Time-Varying Variance, Skewness and Kurtosis – The NIG-ACD Model. *Econometrics Journal*, 12 (1): 82–104.